

牧町天空大橋の施工における技術検討

川田建設(株)	正会員	○好田 武史
川田建設(株)	正会員	藤原 敏晃
川田建設(株)	正会員	安部誠一郎
川田建設(株)	正会員	大久保 孝

キーワード：曲線橋，非対称張出し，マスコンクリート

1. はじめに

牧町天空大橋は、平面線形 $R=200m$ を有し橋脚から左右に張出し施工される張出し架設曲線橋である。

張出し架設橋は施工ステップが進むにつれ、逐次構造系が変化する。とくに、本橋のような曲線橋で、非対称張出し架設をする場合は、ねじりやアンバランスモーメントによって、施工時に複雑な挙動が予想された。

本稿では、非対称張出し架設曲線橋における、アンバランスモーメントおよびねじりモーメントに対する施工時品質確保の対策事例を報告する。

2. 橋梁概要

本橋の橋梁諸元を表-1に、全体一般図を図-1に示す。

表-1 橋梁諸元

構造形式	PC3径間連続ラーメン箱桁橋
橋長	267.000m
桁長	266.591m
支間長	91.000m+127.000m+47.000m
有効幅員	6.925m
設計荷重	B活荷重
平面線形	A100～R=200～A=100～R=∞
縦断勾配	4.00% ✓
横断勾配	1.50% ✓ ~ 6.00% ✓ ~ 1.50% ✓ ~ 1.50%
斜角	$\theta=90^\circ\ 0'\ 0''$ (道路中心に対して)

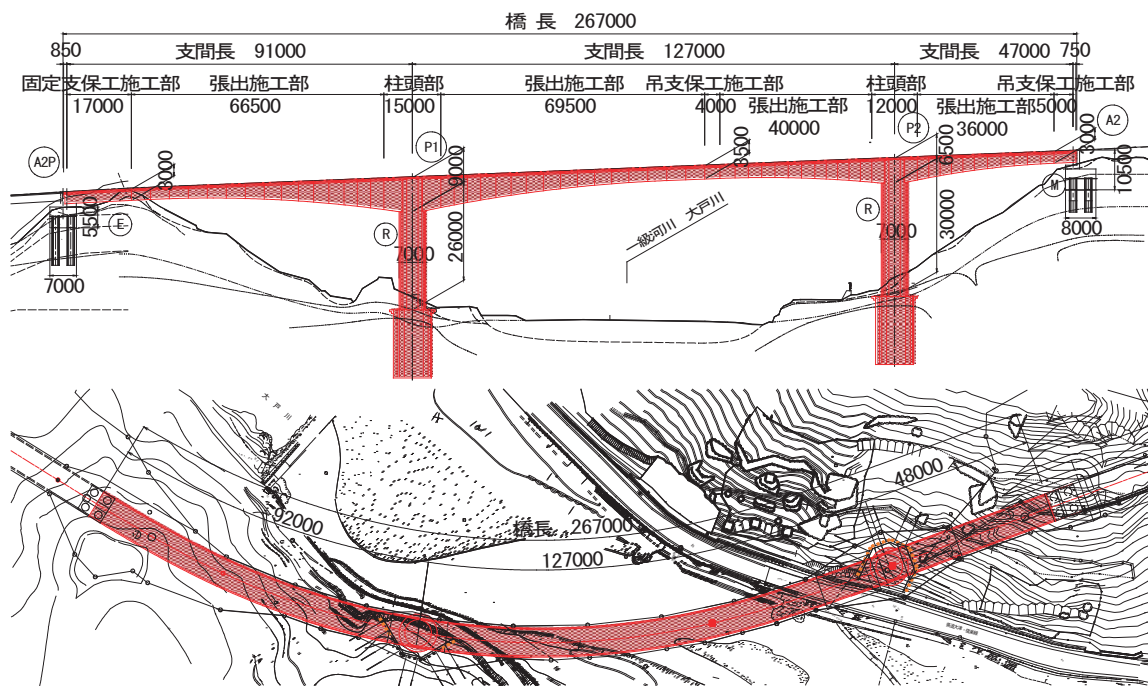


図-1 全体一般図

3. 架設時ねじりモーメントに対する対策

3. 1 解析概要と対策

曲線の張出し架設橋では、橋脚が曲率中心方向に傾き、さらに主桁のねじり変形により、大きなねじりモーメントが生じる（図-2）（写真-1）。架設系で生じるねじりモーメントと完成系で作用する後荷重によるねじりモーメントは、向きが逆になることは自明であるが、張出し架設橋では、架設時の自重によるねじりモーメントが卓越し完成系にも残留する。本工事では、施工時にねじりに起因するひび割れ発生の懸念があったため、3次元FEM解析を用いた逐次解析を行い、架設時のねじり挙動と発生応力度を精度良く求めた（図-3）。

ねじりひび割れの抑制対策としては、主桁断面のねじり変形を拘束することが有効であることから、ねじりによる引張応力度が最大となる付近（4BL）に、コンクリートによる中間隔壁を追加配置した（図-4）。対策結果を表-2に示す。

対応策	概要図 および コンター図（直角方向応力）
対応策なし	
概要	

表-2 ねじり抑制対策結果



写真-1 施工写真

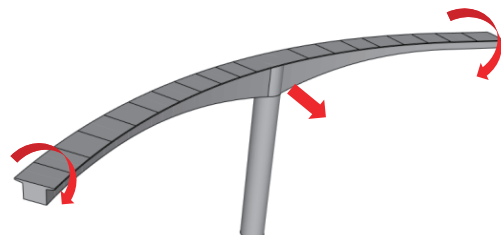


図-2 曲線張出し施工時の挙動

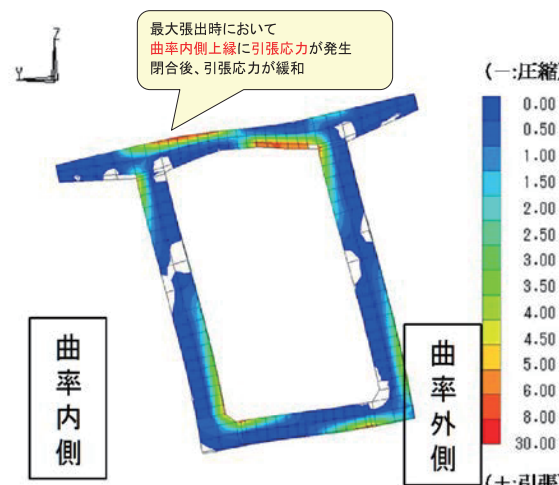


図-3 架設時ねじりによる引張応力度

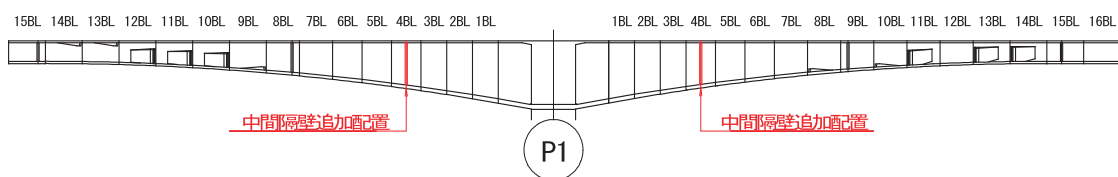


図-4 中間隔壁追加配置

3. 2 応力計測によるねじり挙動の確認

張出し架設時のねじり挙動の把握と、FEM解析の妥当性を確認することを目的に、中間隔壁追加後の最大応力発生箇所である上床版（7BL）に鉄筋計を配置し、7BL張出し施工時から中央閉合時（構造系完成時）まで応力計測を行った（図-5）。この結果、鉄筋計の値は、張出し架設が進むにつれ最大張出し時を頂点に引張応力が増大し、閉合後の構造系変化後では、ねじりに伴う応力が緩和するという、解析同様の挙動をしていることが確認でき、逐次FEM解析によるねじり検討の妥当性が検証できた。

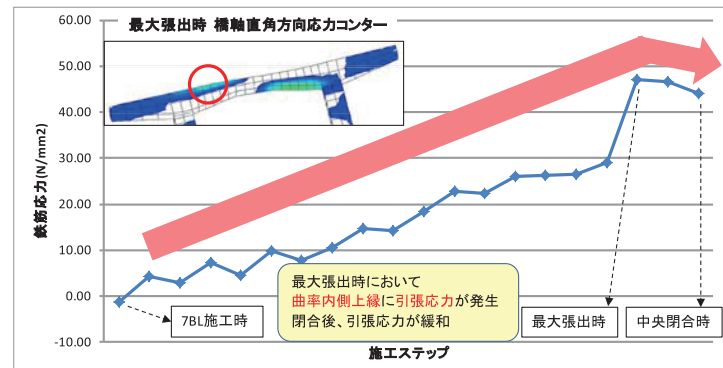


図-5 計測結果

4. 架設時アンバランスモーメントに対する対策

上下部接合部となる柱頭部には、非対称張出し施工によりアンバランスモーメントに起因する引張応力が生じる（図-6）。構造上重要な部位となる上下部接合部に生じる引張応力の抑制は、施工時品質確保における課題であった。

対策として、脚頭部から柱頭部にかけて鉛直PC鋼棒の配置を提案した（図-7）。アンバランスモーメントの性状に合わせて脚断面に非対称配置とし、施工時はその鉛直プレストレスにより引張応力を抑制した。なお、構造系完成後は緊張力を解放し、鉛直PC鋼棒を撤去した。

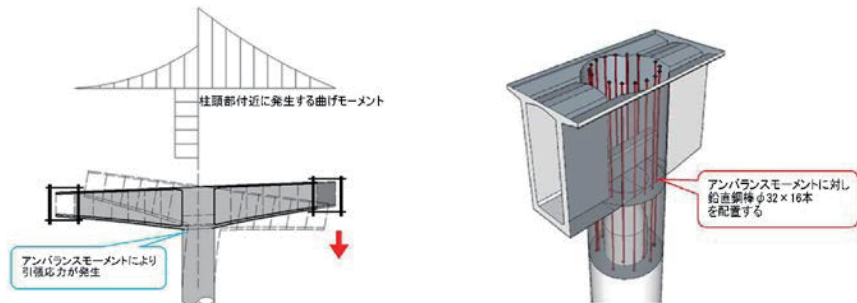


図-6 アンバランスモーメント

図-7 上下部接合部の鉛直鋼棒

5. 柱頭部マスコンクリート対策

5. 1 概要

本橋の柱頭部は、マスコンクリート（直径 7.0m × 高さ 9.0m 475m³）であり、水和反応による内部の温度上昇量が大きいため、部材内部と外表面との温度差による引張応力が生じ、温度応力ひび割れが発生するおそれがあった。このため温度応力によるひび割れを抑制する対策が必要であった（図-8）。

5. 2 対策

現場条件（コンクリート配合・施工時の外気温・施工工程・養生条件）を考慮した3次元FEM温度応力解析を行った。その解析結果に基づきエアパイプクーリングを実施した。クーリ

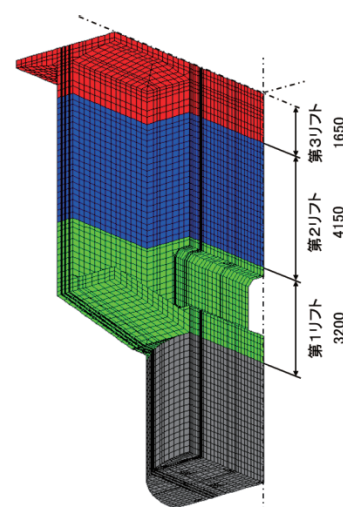


図-8 柱頭部モデル図

ングは、追加配置した鉛直管（Φ300mm）および、内ケーブルシース（Φ75mm）に送風(7.5m/s)してエアパイプクーリングを行うこととした（図-9）。解析結果に基づく最高温度発生位置とコンクリート外表面に温度計（熱電対）を設置し、内外温度差の測定を行い、測定結果により内外温度差が20°C以下になるまでクーリングを継続し、15°C以下となってから脱型した。

5. 3 結果

エアパイプクーリングにより部材中心の最高温度を緩やかに低減させたことで、初期材齢における内外温度差を小さくし、ひび割れ指数1.0以下の領域を縮減することができた（図-10）（図-11）。さらに、脱型時期を内外温度差15°C以下として、外表面の急冷による内外温度差を緩和し、温度応力ひび割れを抑制することができた。

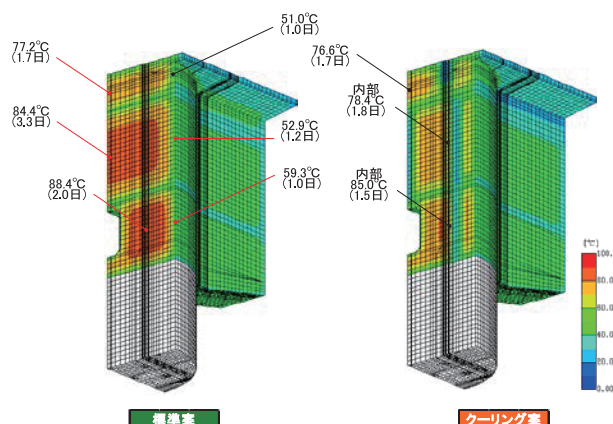


図-10 3次元FEM温度応力解析結果

6. おわりに

本橋のような曲線橋で非対称張出し架設の構造では、施工時品質確保の観点から構造特性に留意した検討が重要である。本稿が類似工事の参考となれば幸いである。

最後に、本橋は深基礎および下部工を含む上下部一式工事で、約3年3ヶ月の工期を経て、平成30年3月、無事に竣工した。関係各位に謝意を表する（写真-2）。

参考文献

- 1) 安部誠一郎、神後雅文、藤原敏晃、大久保孝：非対称張出し架設される曲線P C箱桁橋における施工品質確保の対策事例、土木学会第73回年次学術講演会、（投稿中）

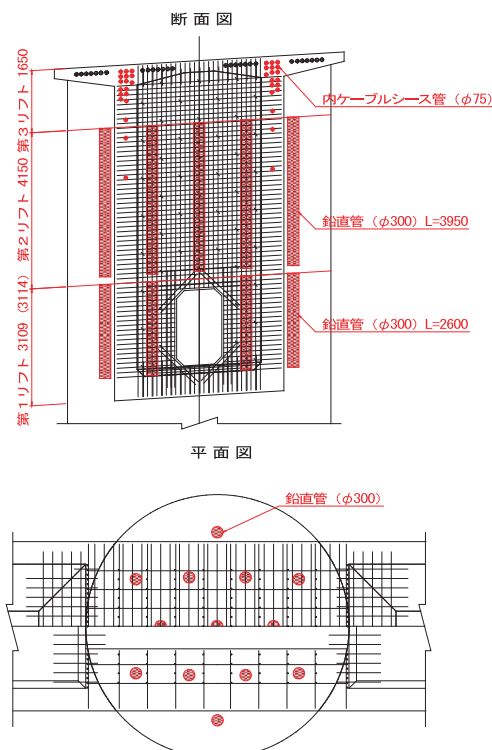


図-9 エアパイプクーリング配置

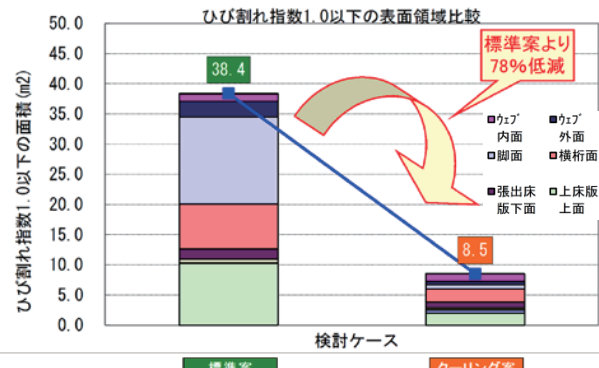


図-11 ひび割れ指数1.0以下の表面領域比較



写真-2 完成写真